

## Dois problemas sobre carregamento de veículos eléctricos



ENSPM 2014 - 15 de Julho

Este trabalho foi apoiado pelo Projeto mobiOS do QREN/AdI



## O Projecto

### O que é o MobiOS?

MobiOS é uma plataforma de software em desenvolvimento pela Critical Software para aplicações de mobilidade, em especial mobilidade eléctrica.



## O Projecto

### O que é o MobiOS?

MobiOS é uma plataforma de software em desenvolvimento pela Critical Software para aplicações de mobilidade, em especial mobilidade eléctrica.



### Qual o nosso papel no projecto?

Foi-nos pedido para desenvolvermos soluções para dois problemas concretos:

- Planear uma rede de postos de carregamento;
- calendarizar localmente os carregamentos.

# Planeamento de uma rede de carregamento de veículos eléctricos

Joana Cavadas\*, Gonçalo Correia<sup>†</sup>, João Gouveia\*

\*DMUC - Universidade de Coimbra, <sup>†</sup> DEC - Universidade de Coimbra/ TU Delft

## Objectivo

- Encontrar a melhor localização para as estações de carregamento de forma a maximizar o nível de satisfação, sob um orçamento fixo.

## Objectivo

- Encontrar a melhor localização para as estações de carregamento de forma a maximizar o nível de satisfação, sob um orçamento fixo.

## Duas fases

- Modelar a procura;
- Distribuir os postos.

## Objectivo

- Encontrar a melhor localização para as estações de carregamento de forma a maximizar o nível de satisfação, sob um orçamento fixo.

## Duas fases

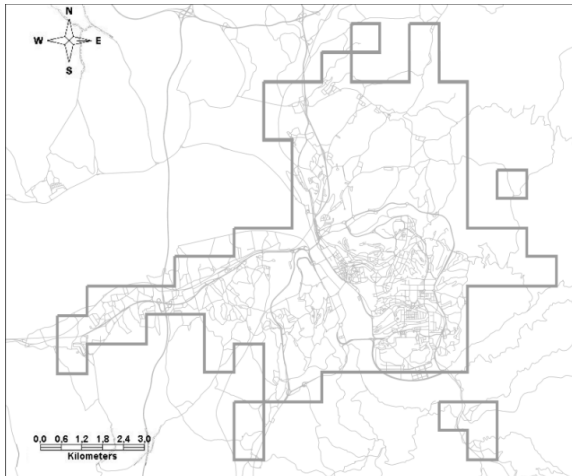
- Modelar a procura;
- Distribuir os postos.

## Fase 1 : Modelar a procura

Baseado no tempo de estacionamento com duas simplificações:

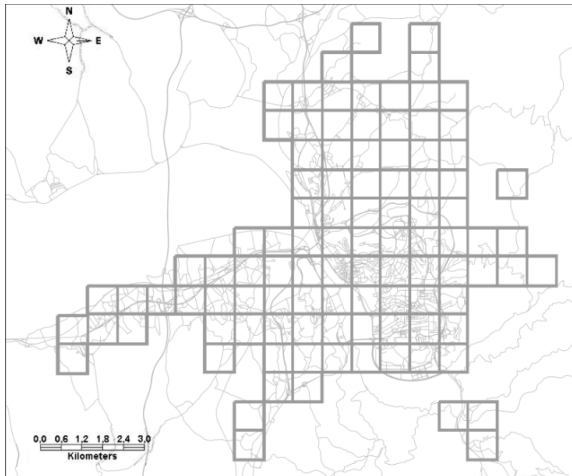
- A maioria dos carros carrega (essencialmente) o mesmo número de vezes por dia.
- A probabilidade de um carro carregar é proporcional ao tempo que permanecerá no local.

## Modelação da procura - Exemplo

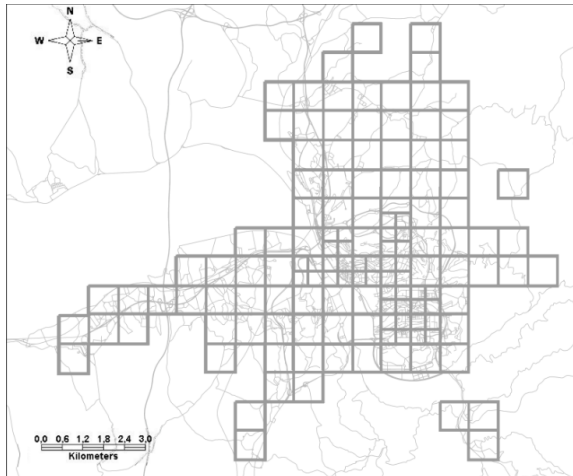




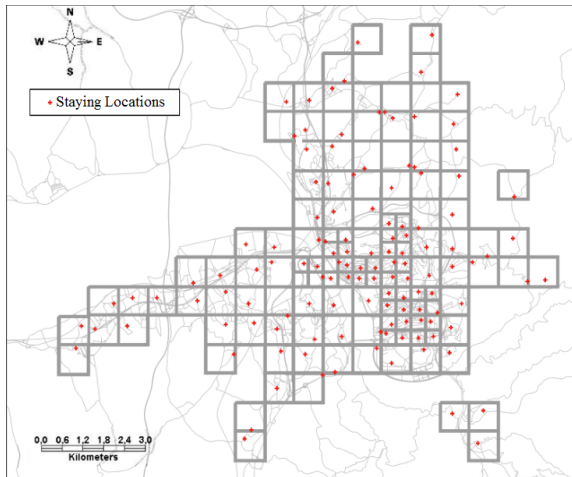
## Modelação da procura - Exemplo



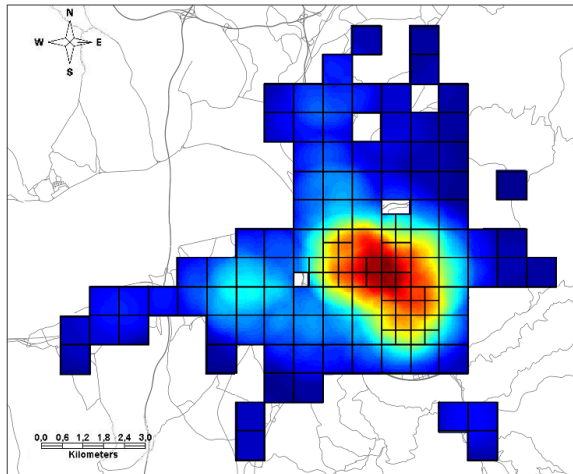
## Modelação da procura - Exemplo



## Modelação da procura - Exemplo



## Modelação da procura - Exemplo



## Fase 2 - Modelo base de localização de postos

Queremos construir  $T$  postos de um total de  $N$  localizações possíveis, cada um com capacidade  $C$ .

## Fase 2 - Modelo base de localização de postos

Queremos construir  $T$  postos de um total de  $N$  localizações possíveis, cada um com capacidade  $C$ .

Estimámos em  $M$  pontos a procura  $D_j$ .

## Fase 2 - Modelo base de localização de postos

Queremos construir  $T$  postos de um total de  $N$  localizações possíveis, cada um com capacidade  $C$ .

Estimámos em  $M$  pontos a procura  $D_j$ .

Criamos uma função  $\Gamma_{jk}$  que decresce à medida que a distância entre o ponto de procura  $j$  e o potencial posto  $k$  aumenta.

## Fase 2 - Modelo base de localização de postos

Queremos construir  $T$  postos de um total de  $N$  localizações possíveis, cada um com capacidade  $C$ .

Estimámos em  $M$  pontos a procura  $D_j$ .

Criamos uma função  $\Gamma_{jk}$  que decresce à medida que a distância entre o ponto de procura  $j$  e o potencial posto  $k$  aumenta.

Obtemos:



## Fase 2 - Modelo base de localização de postos

Queremos construir  $T$  postos de um total de  $N$  localizações possíveis, cada um com capacidade  $C$ .

Estimámos em  $M$  pontos a procura  $D_j$ .

Criamos uma função  $\Gamma_{jk}$  que decresce à medida que a distância entre o ponto de procura  $j$  e o potencial posto  $k$  aumenta.

Obtemos:

$$x_k \in \{0, 1\}, \quad k = 1, \dots, N$$

◇ Construção ou não de  $k$

## Fase 2 - Modelo base de localização de postos

Queremos construir  $T$  postos de um total de  $N$  localizações possíveis, cada um com capacidade  $C$ .

Estimámos em  $M$  pontos a procura  $D_j$ .

Criamos uma função  $\Gamma_{jk}$  que decresce à medida que a distância entre o ponto de procura  $j$  e o potencial posto  $k$  aumenta.

Obtemos:

$$z_{jk} \in [0, 1], \quad j = 1, \dots, M, \quad k = 1, \dots, N$$
$$x_k \in \{0, 1\}, \quad k = 1, \dots, N$$

- ◇ Procura do ponto  $j$  satisfeita em  $k$
- ◇ Construção ou não de  $k$

## Fase 2 - Modelo base de localização de postos

Queremos construir  $T$  postos de um total de  $N$  localizações possíveis, cada um com capacidade  $C$ .

Estimámos em  $M$  pontos a procura  $D_j$ .

Criamos uma função  $\Gamma_{jk}$  que decresce à medida que a distância entre o ponto de procura  $j$  e o potencial posto  $k$  aumenta.

Obtemos:

$$\max \quad \sum_{j=1}^M D_j \sum_{k=1}^N z_{jk} \Gamma_{jk}$$

◇ Maximizar a procura satisfeita

t.q.

$$z_{jk} \in [0, 1], \quad j = 1, \dots, M, \quad k = 1, \dots, N$$

◇ Procura do ponto  $j$  satisfeita em  $k$

$$x_k \in \{0, 1\}, \quad k = 1, \dots, N$$

◇ Construção ou não de  $k$

## Fase 2 - Modelo base de localização de postos

Queremos construir  $T$  postos de um total de  $N$  localizações possíveis, cada um com capacidade  $C$ .

Estimámos em  $M$  pontos a procura  $D_j$ .

Criamos uma função  $\Gamma_{jk}$  que decresce à medida que a distância entre o ponto de procura  $j$  e o potencial posto  $k$  aumenta.

Obtemos:

$$\max \quad \sum_{j=1}^M D_j \sum_{k=1}^N z_{jk} \Gamma_{jk} \quad \diamond \text{ Maximizar a procura satisfeita}$$

t.q.

$$\sum_{k=1}^n x_k \leq T$$

$$z_{jk} \in [0, 1], \quad j = 1, \dots, M, \quad k = 1, \dots, N$$

$$x_k \in \{0, 1\}, \quad k = 1, \dots, N$$

$\diamond$  O orçamento não é excedido

$\diamond$  Procura do ponto  $j$  satisfeita em  $k$

$\diamond$  Construção ou não de  $k$

## Fase 2 - Modelo base de localização de postos

Queremos construir  $T$  postos de um total de  $N$  localizações possíveis, cada um com capacidade  $C$ .

Estimámos em  $M$  pontos a procura  $D_j$ .

Criamos uma função  $\Gamma_{jk}$  que decresce à medida que a distância entre o ponto de procura  $j$  e o potencial posto  $k$  aumenta.

Obtemos:

$$\max \quad \sum_{j=1}^M D_j \sum_{k=1}^N z_{jk} \Gamma_{jk}$$

◇ Maximizar a procura satisfeita

t.q.

$$z_{jk} \leq x_k, \quad j = 1, \dots, M, \quad k = 1, \dots, N$$

◇ Apenas postos construídos são usados

$$\sum_{k=1}^N x_k \leq T$$

◇ O orçamento não é excedido

$$z_{jk} \in [0, 1], \quad j = 1, \dots, M, \quad k = 1, \dots, N$$

◇ Procura do ponto  $j$  satisfeita em  $k$

$$x_k \in \{0, 1\}, \quad k = 1, \dots, N$$

◇ Construção ou não de  $k$

## Fase 2 - Modelo base de localização de postos

Queremos construir  $T$  postos de um total de  $N$  localizações possíveis, cada um com capacidade  $C$ .

Estimámos em  $M$  pontos a procura  $D_j$ .

Criamos uma função  $\Gamma_{jk}$  que decresce à medida que a distância entre o ponto de procura  $j$  e o potencial posto  $k$  aumenta.

Obtemos:

$$\max \quad \sum_{j=1}^M D_j \sum_{k=1}^N z_{jk} \Gamma_{jk}$$

◇ Maximizar a procura satisfeita

t.q.

$$\sum_{k=1}^N D_i z_{ik} \leq D_i, \quad i = 1, \dots, M$$

◇ Satisfaz apenas a procura estimada

$$z_{jk} \leq x_k, \quad j = 1, \dots, M, \quad k = 1, \dots, N$$

◇ Apenas postos construídos são usados

$$\sum_{k=1}^n x_k \leq T$$

◇ O orçamento não é excedido

$$z_{jk} \in [0, 1], \quad j = 1, \dots, M, \quad k = 1, \dots, N$$

◇ Procura do ponto  $j$  satisfeita em  $k$

$$x_k \in \{0, 1\}, \quad k = 1, \dots, N$$

◇ Construção ou não de  $k$

## Fase 2 - Modelo base de localização de postos

Queremos construir  $T$  postos de um total de  $N$  localizações possíveis, cada um com capacidade  $C$ .

Estimámos em  $M$  pontos a procura  $D_j$ .

Criamos uma função  $\Gamma_{jk}$  que decresce à medida que a distância entre o ponto de procura  $j$  e o potencial posto  $k$  aumenta.

Obtemos:

$$\max \quad \sum_{j=1}^M D_j \sum_{k=1}^N z_{jk} \Gamma_{jk}$$

$$\text{t.q.} \quad \sum_{j=1}^M D_j z_{jk} \leq C, \quad k = 1, \dots, N$$

$$\sum_{k=1}^N D_i z_{ik} \leq D_i, \quad i = 1, \dots, M$$

$$z_{jk} \leq x_k, \quad j = 1, \dots, M, \quad k = 1, \dots, N$$

$$\sum_{k=1}^N x_k \leq T$$

$$z_{jk} \in [0, 1], \quad j = 1, \dots, M, \quad k = 1, \dots, N$$

$$x_k \in \{0, 1\}, \quad k = 1, \dots, N$$

◇ Maximizar a procura satisfeita

◇ **Capacidade não é excedida**

◇ Satisfaz apenas a procura estimada

◇ Apenas postos construídos são usados

◇ O orçamento não é excedido

◇ Procura do ponto  $j$  satisfeita em  $k$

◇ Construção ou não de  $k$

## Alterações ao modelo base

Usaremos o modelo base apresentado com duas alterações essenciais:



## Alterações ao modelo base

Usaremos o modelo base apresentado com duas alterações essenciais:

- Procura transferível;

A

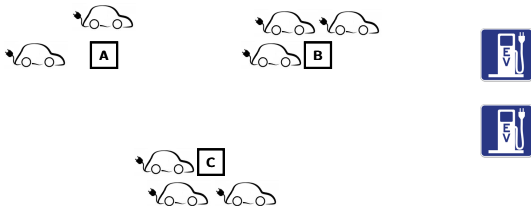
B

C

## Alterações ao modelo base

Usaremos o modelo base apresentado com duas alterações essenciais:

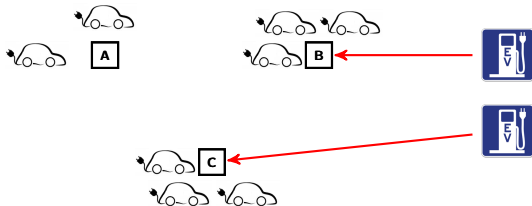
- Procura transferível;



## Alterações ao modelo base

Usaremos o modelo base apresentado com duas alterações essenciais:

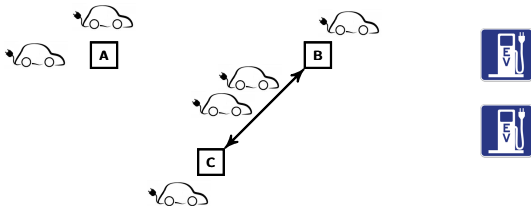
- Procura transferível;



## Alterações ao modelo base

Usaremos o modelo base apresentado com duas alterações essenciais:

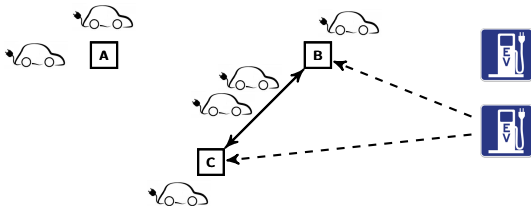
- Procura transferível;



## Alterações ao modelo base

Usaremos o modelo base apresentado com duas alterações essenciais:

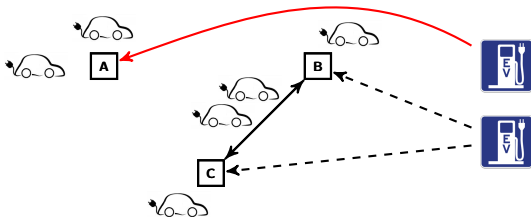
- Procura transferível;



## Alterações ao modelo base

Usaremos o modelo base apresentado com duas alterações essenciais:

- Procura transferível;



## Alterações ao modelo base

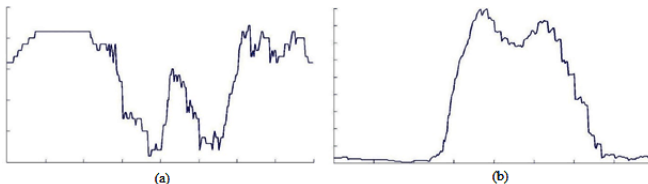
Usaremos o modelo base apresentado com duas alterações essenciais:

- Procura transferível;
- Divisão em intervalos de tempo.

## Alterações ao modelo base

Usaremos o modelo base apresentado com duas alterações essenciais:

- Procura transferível;
- Divisão em intervalos de tempo.



Número de veículos estacionados numa área residencial (a) e numa área comercial (b)) por hora do dia (Mondego Region Mobility System (2009))



## Modelo com transferências (sem intervalos de tempo)

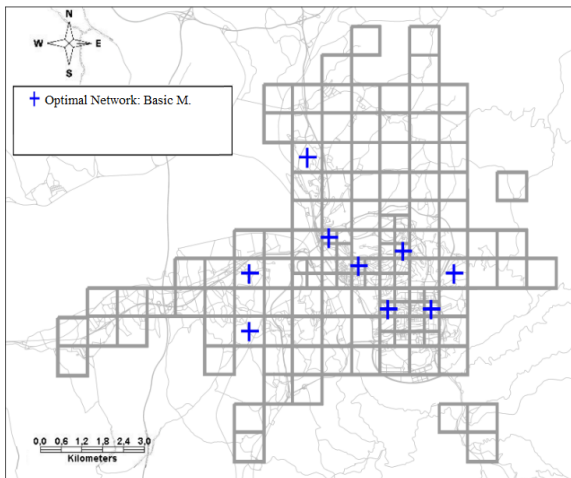
### Modelo Básico

$$\begin{aligned}
 \max \quad & \sum_{j=1}^M D_j \sum_{k=1}^N z_{jk} \cdot \Gamma_{jk} + \sum_{i=1}^M \sum_{j=1}^M V_{ij} \sum_{k=1}^N y_{ijk} \cdot \Gamma_{jk} \\
 \text{t.q.} \quad & \sum_{j=1}^M D_j z_{jk} + \sum_{i=1}^M \sum_{j=1}^M V_{ij} y_{ijk} \leq C_k, \quad k=1, \dots, N, \\
 & \sum_{k=1}^N D_i z_{ik} + \sum_{j=1}^M \sum_{k=1}^N W_{ij} y_{ijk} \leq D_i, \quad i=1, \dots, M, \\
 & \sum_{k=1}^N y_{ijk} \leq 1, \quad i, j=1, \dots, M, \\
 & z_{jk} \leq x_k, \quad j=1, \dots, M, \quad k=1, \dots, N, \\
 & y_{ijk} \leq x_k, \quad i, j=1, \dots, M, \quad k=1, \dots, N, \\
 & \sum_{k=1}^N B_k x_k \leq T, \\
 & z_{jk} \in [0, 1], \quad j=1, \dots, M, \quad k=1, \dots, N, \\
 & y_{ijk} \in [0, 1], \quad i, j=1, \dots, M, \quad k=1, \dots, N, \\
 & x_k \in \{0, 1\}, \quad k=1, \dots, N.
 \end{aligned}$$

### Modelo de transferência

- ◇ Maximizar a procura satisfeita
- ◇ Capacidade não é excedida
- ◇ Satisfaz apenas a procura estimada
- ◇ Procura satisfeita por  $k$   $\Rightarrow$  Construção de  $k$
- ◇ O orçamento não é excedido
- ◇ Procura do ponto  $j$  satisfeita em  $k$
- ◇ Procura transferida de  $i$  para  $j$  e satisfeita em  $k$
- ◇ Construção ou não de  $k$

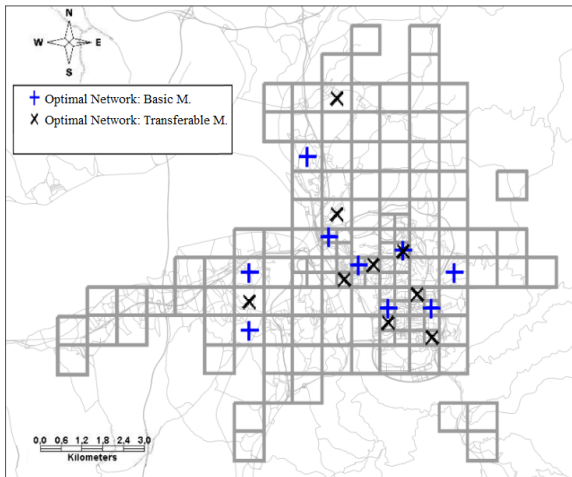
## Redes optimais - Exemplo



Solução do modelo base

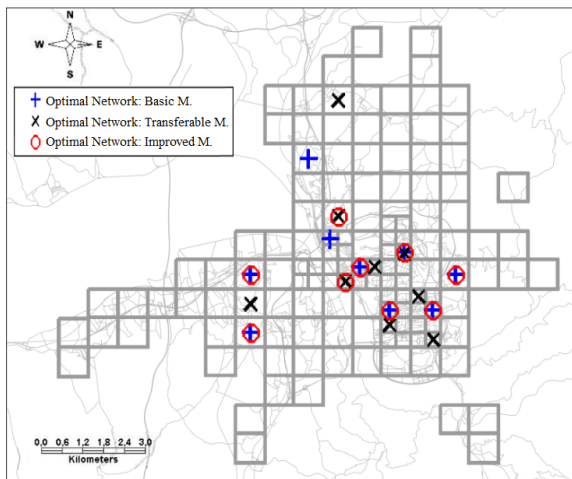


## Redes optimais - Exemplo



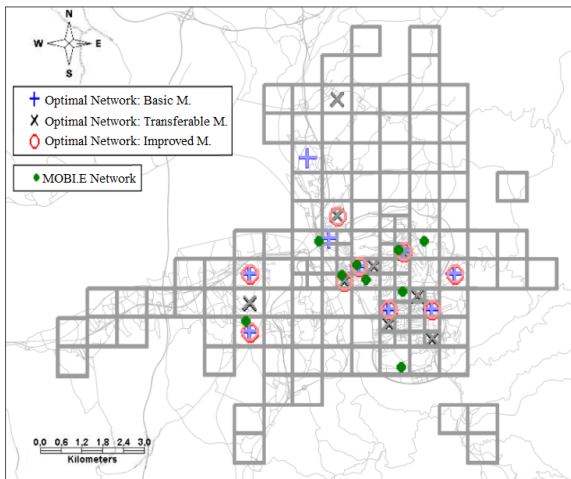
Solução com transferências

## Redes optimais - Exemplo



Solução do modelo completo

## Redes optimais - Exemplo



Rede Mobi.e

# Optimização do escalonamento do carregamento de veículos eléctricos

Xavier Fernandes\*, João Gouveia\*, Rodrigo Maia<sup>+</sup>, Joana Rebelo\*

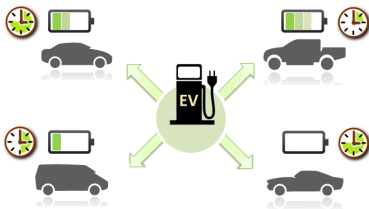
\*DMUC - Universidade de Coimbra, <sup>+</sup> Critical Software

## Objectivo:

- Dada uma potência fixa disponível, e veículos com necessidades individuais de carga e tempo disponível, desenhar um calendário optimizado de carregamento.

## Objectivo:

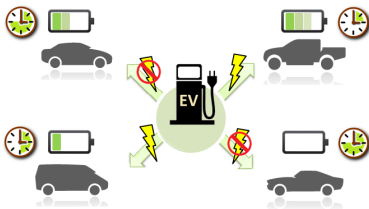
- Dada uma potência fixa disponível, e veículos com necessidades individuais de carga e tempo disponível, desenhar um calendário otimizado de carregamento.





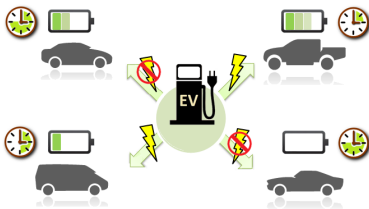
## Objectivo:

- Dada uma potência fixa disponível, e veículos com necessidades individuais de carga e tempo disponível, desenhar um calendário otimizado de carregamento.



## Objectivo:

- Dada uma potência fixa disponível, e veículos com necessidades individuais de carga e tempo disponível, desenhar um calendário otimizado de carregamento.



## Notas:

- Cada vez que um carro chega temos de recalcular;
- queremos o melhor comportamento dinâmico possível.

## Abordagem discreta: método das folgas

Uma primeira abordagem é dividir o tempo em intervalos. No início de cada intervalo verificamos a *folga* de cada carro (tempo disponível menos tempo necessário) e carregamos os carros com menor folga.

## Abordagem discreta: método das folgas

Uma primeira abordagem é dividir o tempo em intervalos. No início de cada intervalo verificamos a *folga* de cada carro (tempo disponível menos tempo necessário) e carregamos os carros com menor folga.

### Teorema

Se existir solução o método da folga devolve-a.

## Abordagem discreta: método das folgas

Uma primeira abordagem é dividir o tempo em intervalos. No início de cada intervalo verificamos a *folga* de cada carro (tempo disponível menos tempo necessário) e carregamos os carros com menor folga.

### Teorema

Se existir solução o método da folga devolve-a.

Esta é uma heurística de despacho usada com frequência em problemas de escalonamento, e que tem tipicamente boas propriedades dinâmicas.

## Abordagem discreta: método das folgas

Uma primeira abordagem é dividir o tempo em intervalos. No início de cada intervalo verificamos a *folga* de cada carro (tempo disponível menos tempo necessário) e carregamos os carros com menor folga.

### Teorema

Se existir solução o método da folga devolve-a.

Esta é uma heurística de despacho usada com frequência em problemas de escalonamento, e que tem tipicamente boas propriedades dinâmicas.

Vai servir de termo de comparação.

## Exemplo

$$T=(8,6,9,5,4)$$

$$C=(2,4,5,2,3)$$

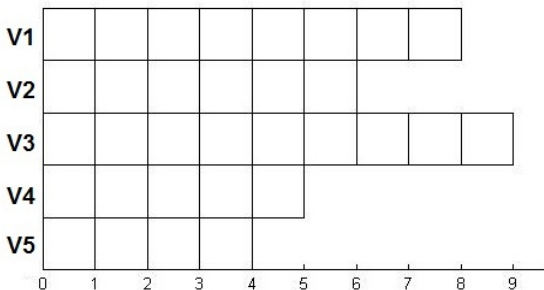
$$P=3$$

## Exemplo

$$T=(8,6,9,5,4)$$

$$C=(2,4,5,2,3)$$

$$P=3$$

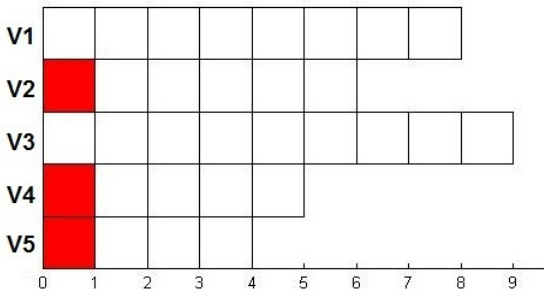


$$c=(2,4,5,2,3)$$

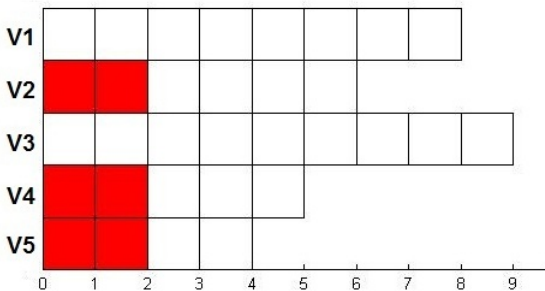
$$F=(6,2,4,3,1)$$



## Exemplo

 $T=(8,6,9,5,4)$ 
 $C=(2,4,5,2,3)$ 
 $P=3$ 

 $c=(2,3,5,1,2)$ 
 $F=(5,2,3,3,1)$

## Exemplo

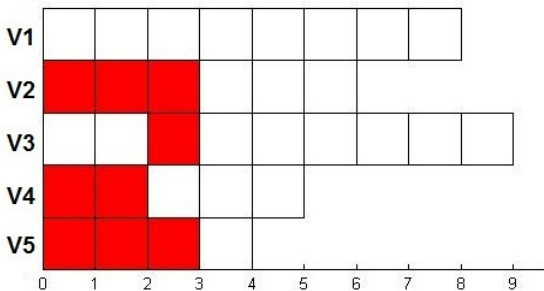
 $T=(8,6,9,5,4)$ 
 $C=(2,4,5,2,3)$ 
 $P=3$ 

 $c=(2,2,5,0,1)$ 
 $F=(4,2,2,3,1)$

## Exemplo

$$T=(8,6,9,5,4)$$

$$C=(2,4,5,2,3)$$

$$P=3$$



$$c=(2,1,4,0,0)$$

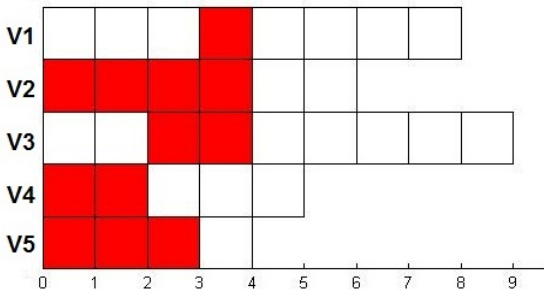
$$F=(3,2,2,3,1)$$

## Exemplo

$$T=(8,6,9,5,4)$$

$$C=(2,4,5,2,3)$$

$$P=3$$



$$c=(1,0,3,0,0)$$

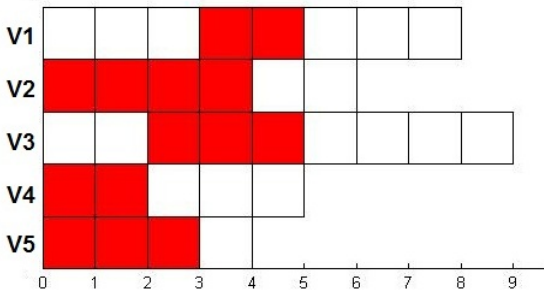
$$F=(3,2,2,3,1)$$

## Exemplo

$$T=(8,6,9,5,4)$$

$$C=(2,4,5,2,3)$$

$$P=3$$



$$c=(0,0,2,0,0)$$

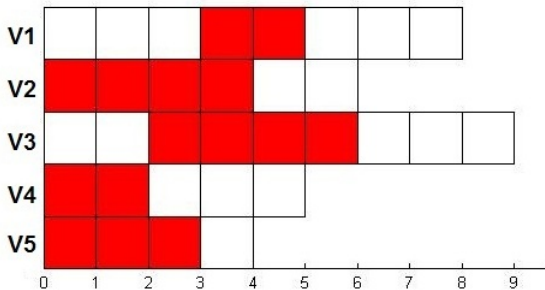
$$F=(3,2,2,3,1)$$

## Exemplo

$$T=(8,6,9,5,4)$$

$$C=(2,4,5,2,3)$$

$$P=3$$



$$c=(0,0,1,0,0)$$

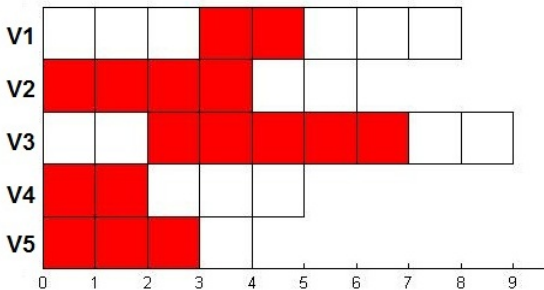
$$F=(3,2,2,3,1)$$

## Exemplo

$$T=(8,6,9,5,4)$$

$$C=(2,4,5,2,3)$$

$$P=3$$



$$c=(0,0,0,0,0)$$

$$F=(3,2,2,3,1)$$

## Abordagem contínua básica

Para  $K$  veículos e  $i = 1, \dots, K$  sejam

- $C_i \rightarrow$  Tempo de carga necessário para o carro  $i$
- $T_i \rightarrow$  Tempo disponível para o carro  $i$
- $P \rightarrow$  Número máximo de carros que podem carregar simultaneamente.



## Abordagem contínua básica

Para  $K$  veículos e  $i = 1, \dots, K$  sejam

- $C_i \rightarrow$  Tempo de carga necessário para o carro  $i$
- $T_i \rightarrow$  Tempo disponível para o carro  $i$
- $P \rightarrow$  Número máximo de carros que podem carregar simultaneamente.

$y_{ij} \in [0, 1] \rightarrow$  fracção de  $[T_{j-1}, T_j]$  em que  $i$  carrega

## Abordagem contínua básica

Para  $K$  veículos e  $i = 1, \dots, K$  sejam

- $C_i \rightarrow$  Tempo de carga necessário para o carro  $i$
- $T_i \rightarrow$  Tempo disponível para o carro  $i$
- $P \rightarrow$  Número máximo de carros que podem carregar simultaneamente.

$y_{ij} \in [0, 1] \rightarrow$  fracção de  $[T_{j-1}, T_j]$  em que  $i$  carrega

$$\left\{ \begin{array}{l} \text{Encontrar } y_{ij} \text{ t.q.:} \\ \sum_{j=1}^i y_{ij} (T_j - T_{j-1}) = C_i, \quad i = 1, \dots, K; \end{array} \right.$$

## Abordagem contínua básica

Para  $K$  veículos e  $i = 1, \dots, K$  sejam

- $C_i \rightarrow$  Tempo de carga necessário para o carro  $i$
- $T_i \rightarrow$  Tempo disponível para o carro  $i$
- $P \rightarrow$  Número máximo de carros que podem carregar simultaneamente.

$y_{ij} \in [0, 1] \rightarrow$  fracção de  $[T_{j-1}, T_j]$  em que  $i$  carrega

$$\left\{ \begin{array}{l} \text{Encontrar } y_{ij} \text{ t.q.:} \\ \sum_{j=1}^i y_{ij} (T_j - T_{j-1}) = C_i, \quad i = 1, \dots, K; \\ \sum_{i=j}^K y_{ij} \leq P, \quad j = 1, \dots, K; \end{array} \right.$$

## Abordagem contínua básica

Para  $K$  veículos e  $i = 1, \dots, K$  sejam

- $C_i \rightarrow$  Tempo de carga necessário para o carro  $i$
- $T_i \rightarrow$  Tempo disponível para o carro  $i$
- $P \rightarrow$  Número máximo de carros que podem carregar simultaneamente.

$y_{ij} \in [0, 1] \rightarrow$  fracção de  $[T_{j-1}, T_j]$  em que  $i$  carrega

$$\left\{ \begin{array}{l} \max \sum_{i=1}^K \sum_{j=1}^i \frac{1}{2^i} y_{ij} (T_j - T_{j-1}) \text{ t.q.:} \\ \sum_{j=1}^i y_{ij} (T_j - T_{j-1}) = C_i, \quad i = 1, \dots, K; \\ \sum_{i=j}^K y_{ij} \leq P, \quad j = 1, \dots, K; \end{array} \right.$$

## Abordagem contínua básica

Para  $K$  veículos e  $i = 1, \dots, K$  sejam

- $C_i \rightarrow$  Tempo de carga necessário para o carro  $i$
- $T_i \rightarrow$  Tempo disponível para o carro  $i$
- $P \rightarrow$  Número máximo de carros que podem carregar simultaneamente.

$y_{ij} \in [0, 1] \rightarrow$  fracção de  $[T_{j-1}, T_j]$  em que  $i$  carrega

$$\left\{ \begin{array}{l} \max \sum_{i=1}^K \sum_{j=1}^i \frac{1}{2^i} y_{ij} (T_j - T_{j-1}) \text{ t.q.:} \\ \sum_{j=1}^i y_{ij} (T_j - T_{j-1}) = C_i, \quad i = 1, \dots, K; \\ \sum_{i=j}^K y_{ij} \leq P, \quad j = 1, \dots, K; \end{array} \right.$$

É um PL inspirado pelo método discreto das folgas.

## Exemplo

### Consideremos:

6 VE's     $P=3$

$T=[17 \ 18 \ 22 \ 22 \ 24 \ 25]$

$C=[13 \ 8 \ 19 \ 8 \ 4 \ 16]$

## Exemplo

## Consideremos:

6 VE's P=3

T=[17 18 22 22 24 25]

C=[13 8 19 8 4 16]



## Solução da abordagem contínua:

|     |         |       |       |       |     |    |
|-----|---------|-------|-------|-------|-----|----|
| EV1 | 76,47 % |       |       |       |     |    |
| EV2 | 41,18 % | 100 % |       |       |     |    |
| EV3 | 82,35 % | 100 % | 100 % |       |     |    |
| EV4 | 17,65 % | 100 % | 100 % |       |     |    |
| EV5 | 0 %     | 0 %   | 100 % | 100 % |     |    |
| EV6 | 82,35 % | 0 %   | 0 %   | 0 %   | 0 % |    |
|     | 0       | 17    | 18    | 22    | 24  | 25 |

## Exemplo

## Consideremos:

6 VE's P=3

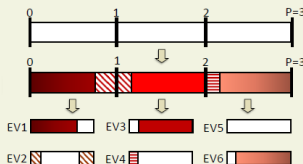
T=[17 18 22 24 25]

C=[13 8 19 8 4 16]



## Solução da abordagem contínua:

|     |        |      |      |      |    |    |
|-----|--------|------|------|------|----|----|
| EV1 | 76,47% |      |      |      |    |    |
| EV2 | 41,18% | 100% |      |      |    |    |
| EV3 | 82,35% | 100% | 100% |      |    |    |
| EV4 | 17,65% | 100% | 100% |      |    |    |
| EV5 | 0%     | 0%   | 100% | 100% |    |    |
| EV6 | 82,35% | 0%   | 0%   | 0%   | 0% |    |
|     | 0      | 17   | 18   | 22   | 24 | 25 |

Conversão para  $[0, T_1]$ 



## Exemplo

## Consideremos:

6 VE's P=3

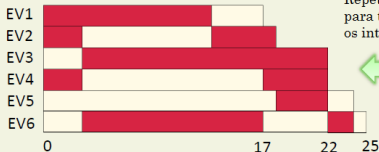
T=[17 18 22 24 25]

C=[13 8 19 8 4 16]

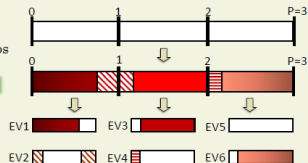
## Solução da abordagem contínua:

|     |        |      |      |      |    |    |
|-----|--------|------|------|------|----|----|
| EV1 | 76,47% |      |      |      |    |    |
| EV2 | 41,18% | 100% |      |      |    |    |
| EV3 | 82,35% | 100% | 100% |      |    |    |
| EV4 | 17,65% | 100% | 100% |      |    |    |
| EV5 | 0%     | 0%   | 100% | 100% |    |    |
| EV6 | 82,35% | 0%   | 0%   | 0%   | 0% |    |
|     | 0      | 17   | 18   | 22   | 24 | 25 |

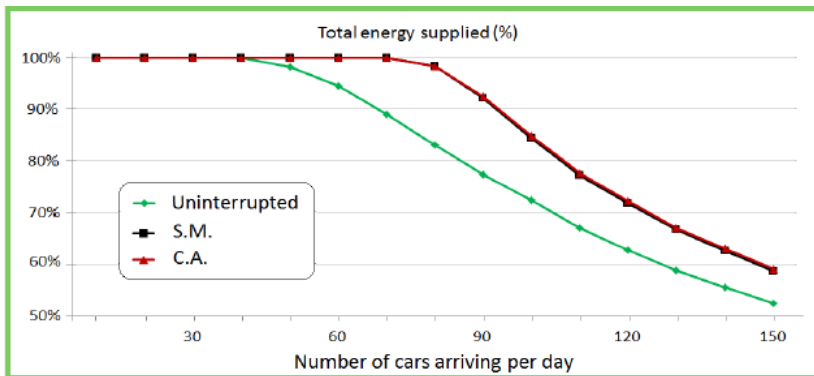
## Plano de carregamento final



Repetindo para todos os intervalos

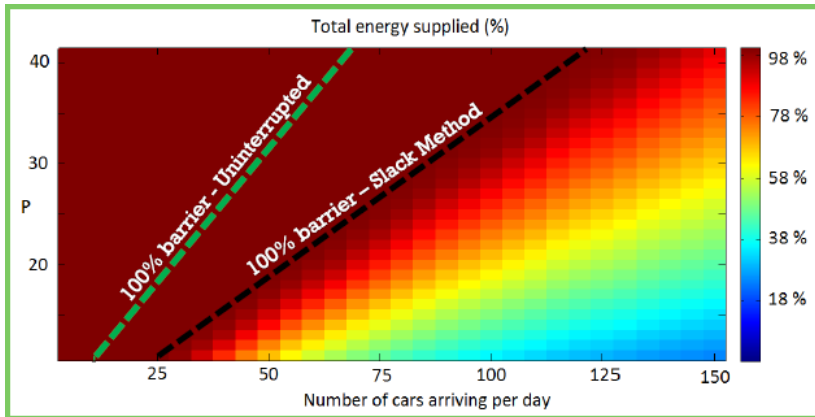
Conversão para  $[0, T_1]$ 

## Resultados da simulação



Comparação de métodos para  $P = 25$  (1 ano simulado).

## Resultados da simulação 2



Comparação dos métodos.

Obrigado